



Laboratorium Badań Środowiskowych
ul. Józefa Piusa Dziekońskiego 3
00-728 Warszawa
e-mail: Laboratorium@networks.pl



AB 419

S P R A W O Z D A N I E 9965/2022/OS
Z POMIARÓW PÓL ELEKTROMAGNETYCZNYCH
WYKONANYCH DLA POTRZEB OCHRONY ŚRODOWISKA

Badany obiekt: Instalacja radiokomunikacyjna T-Mobile Polska S.A.

Numer i nazwa: 49192 (69192N!) PJE_JELENIAGO_MIARKI

Adres: JELENIA GÓRA, KAROLA MIARKI 42, Powiat m. Jelenia Góra, WOJ. DOLNOŚLĄSKIE

Data wykonania pomiarów: 2023-02-08

Sprawozdanie z badań bez pisemnej zgody laboratorium nie może być powielane inaczej niż w całości.
Wynik przedstawione w niniejszym sprawozdaniu odnoszą się wyłącznie do badanego obiektu i do warunków i konfiguracji urządzeń w dniu wykonywania pomiarów.

1. Właściciel badanego obiektu:

T-Mobile Polska S.A., ul. Marynarska 12, 02-674 Warszawa

2. Zleceniodawca:

T-Mobile Polska S.A., ul. Marynarska 12, 02-674 Warszawa

3. Przedstawiciel zleceniodawcy:

NetWorkS! Sp.z o.o.

4. Zakres zlecenia:

Wykonanie badania i opracowanie sprawozdania z pomiarów natężenia pola elektrycznego i pola magnetycznego dla instalacji radiokomunikacyjnej T-Mobile Polska S.A. zlokalizowanej w miejscowości JELENIA GÓRA, KAROLA MIARKI 42.

5. Cel zlecenia:

Wykonanie pomiarów pól elektromagnetycznych w otoczeniu instalacji radiokomunikacyjnej 49192 (69192N!) PJE_JELENIAGO_MIARKI w odniesieniu do wymagań określonych w *Rozporządzeniu Ministra Klimatu z dnia 17 lutego 2020 r. w sprawie sposobów sprawdzania dotrzymania dopuszczalnych poziomów pól elektromagnetycznych w środowisku (Dz.U. 2022 poz. 2630)*.

6. Pomiary zostały wykonane przez:

Strojek Michał
Grzegorzewski Jan

7. Informacje o źródłach pól elektromagnetycznych

7.1. Sposób identyfikacji badanych źródeł pól elektromagnetycznych

Identyfikacji źródeł i parametrów technicznych dokonano na podstawie analizy dokumentacji dotyczącej zlecenia oraz obserwacji miejsca wykonywania badań.

7.2. Opis miejsca zainstalowania anten i urządzeń technicznych. Opis obiektu badań i jego otoczenia

Instalacja radiokomunikacyjna zlokalizowana jest na terenie ogrodzonym. Anteny zawieszono na wieży strunobetonowej. Urządzenia sterujące oraz zasilające zainstalowano w kontenerze u podstawy wieży. Wokół instalacji znajdują się tereny przemysłowe.

Instalacja radiokomunikacyjna jest obiektem bezobsługowym. Okresowe stanowiska pracy związane są z prowadzonymi w zależności od potrzeb konserwacjami, przeglądami, strojeniem i naprawami.

7.3. Parametry techniczne źródła pola elektromagnetycznego

Dane przedstawiające maksymalne parametry pracy instalacji przekazane przez zleceniodawcę:

Parametry systemu nadawczo-odbiorczego:

Charakterystyka promieniowania		kierunkowa					
Rzeczywisty czas pracy [h/dobę]		24					
Warunki pracy		znamionowe					
Rodzaj wytwarzanego pola		stacjonarne					
Lp.	Częstotliwość lub zakresy częstotliwości pracy [MHz]	Typ/producent anteny	liczba anten	Azymut [°]	kąt pochylenia* [°]	Wysokość środka elektrycznego anteny [m n.p.t.]	Równoważna moc promieniowana izotropowo (EIRP) [W]
1	900/1800/2100	ATR4518R11v06 Huawei	1	20	7/7/7	40	9995
2	800	ATR4518R11v06 Huawei	1	20	7	40	2686
3	900/1800/2100	ATR4518R11v06 Huawei	1	100	6/6/6	40	9995
4	800	ATR4518R11v06 Huawei	1	100	6	40	2686
5	900/1800/2100	ATR4518R11v06 Huawei	1	275	4/4/4	40	9995
6	800	ATR4518R11v06 Huawei	1	275	4	40	2686

* wskazane wartości kąta pochylenia anten, zgodnie z informacją uzyskaną od zleceniodawcy, są wartościami stałymi

Parametry radiolinii:

Charakterystyka promieniowania		kierunkowa					
Rzeczywisty czas pracy [h/dobę]		24					
Warunki pracy		znamionowe					
Rodzaj wytwarzanego pola		stacjonarne					
Lp.	Linia radiowa			Antena			
	Typ/ Producent	Częstotliwość pracy [GHz]	Równoważna moc promieniowana izotropowo (EIRP) [W]	Typ/ producent	Średnica anteny [m]	Azymut [°]	Wysokość zainstalowania n.p.t [m]
1.	NEC iPasolink 200 Harris Stratex	38	15	VHLP1-38 Andrew	0.3	66	55
2.	Aviat WTM 3100 Harris Stratex	38	15	VHLP1-38 Andrew	0.3	68	61.5
3.	NEC iPasolink 100E Harris Stratex	38	15	VHLP1-38 Andrew	0.3	102	55
4.	NEC iPasolink 100E Harris Stratex	38	4	VHLP1-38 Andrew	0.3	132	57.6
5.	NEC iPasolink 100E Harris Stratex	38	15	VHLP1-38 Andrew	0.3	230	58
6.	NEC iPasolink 200 Harris Stratex	38	708	VHLP1-38 Andrew	0.3	233	55
7.	NP ERICSSON ML 6363 23GHz 28MHz NP ERICSSON ML 6352 R2+ 70/80GHz 250MHz Ericsson	23/80	1446/5371	ANT2/2_0.6 23/80 HP/HP Ericsson	0.6	238	55

Sprawozdanie z badań bez pisemnej zgody laboratorium nie może być powielane inaczej niż w całości.
Wynik przedstawione w niniejszym sprawozdaniu odnoszą się wyłącznie do badanego obiektu i do warunków i konfiguracji urządzeń w dniu wykonywania pomiarów.

Charakterystyka promieniowania			kierunkowa				
Rzeczywisty czas pracy [h/dobę]			24				
Warunki pracy			znamionowe				
Rodzaj wytwarzanego pola			stacjonarne				
Lp.	Linia radiowa			Antena			
	Typ/ Producent	Częstotliwość pracy [GHz]	Równoważna moc promieniowana izotropowo (EIRP) [W]	Typ/ producent	Średnica anteny [m]	Azymut [°]	Wysokość zainstalowania n.p.t [m]
8.	NP CTR 600 23GHz 2x56MHz XPIC Harris Stratex	23	2461	VHLP2-23 Andrew	0.6	242	55.2
9.	NEC iPasolink 100E Harris Stratex	38	15	VHLP1-38 Andrew	0.3	242	58
10.	NEC iPasolink 100E Harris Stratex	38	4	VHLP1-38 Andrew	0.3	243	57.6
11.	NP CTR 600 HP 23GHz 2x56MHz XPIC Harris Stratex	23	20000	VHLP4-23 Andrew	1.2	246	54.4
12.	NEC iPasolink 200 Harris Stratex	32	1996	VHLP2-32 Andrew	0.6	248	55

7.4 Inne źródła pól elektromagnetycznych

Na podstawie informacji otrzymanych od użytkownika oraz obserwacji otoczenia miejsca wykonywania pomiarów nie stwierdzono występowania innych źródeł pola-EM

8. Opis pomiarów

8.1. Metoda badań

Zgodna z rozporządzeniem Ministra Klimatu z dnia 17 lutego 2020 r. w sprawie sposobów sprawdzania dotrzymania dopuszczalnych poziomów pól elektromagnetycznych w środowisku (Dz.U. 2022 poz. 2630), określona w pkt 25 ppkt 1 załącznika do niniejszego rozporządzenia.

Zgodnie z art. 122a ust. 1b ustawy Prawo Ochrony Środowiska, w przypadku wprowadzenia na części albo całym terytorium Rzeczypospolitej Polskiej stanu nadzwyczajnego, o którym mowa w art. 228 ust. 1 Konstytucji Rzeczypospolitej Polskiej z dnia 2 kwietnia 1997 r. (Dz. U. poz. 483, z 2001 r. poz. 319, z 2006 r. poz. 1471 oraz z 2009 r. poz. 946), lub stanu zagrożenia epidemicznego lub stanu epidemii, o których mowa w art. 46 ustawy z dnia 5 grudnia 2008 r. o zapobieganiu oraz zwalczaniu zakażeń i chorób zakaźnych u ludzi (Dz. U. 2022, poz. 1657), pomiarów, nie przeprowadza się w lokalach mieszkalnych oraz w lokalach użytkowych zlokalizowanych na terytorium objętym stanem nadzwyczajnym, stanem zagrożenia epidemicznego lub stanem epidemii.

W związku z obecnie obowiązującym stanem zagrożenia epidemicznego, pomiarów nie wykonano w lokalach mieszkalnych oraz w lokalach użytkowych zlokalizowanych w obszarze pomiarowym przedmiotowej instalacji radiokomunikacyjnej.

8.2. Termin pomiarów i warunki środowiskowe

Podczas wykonywania pomiarów pól elektromagnetycznych nie występowały opady atmosferyczne. Wyniki pomiaru parametrów pogodowych przedstawia poniższa tabela:

Data [rrrr-mm-dd]	Godzina [hh:mm-hh:mm]	Warunki środowiskowe			
		Temperatura [°C]		Wilgotność względna [%]	
2023-02-08	14:10-15:25	Przed pomiarem	Po pomiarach	Przed pomiarem	Po pomiarach
		2.0	2.1	67.3	67.4

Przedstawione wyżej warunki środowiskowe, występujące podczas wykonywania pomiarów pól elektromagnetycznych, są zgodne ze specyfikacją techniczną użytego zestawu pomiarowego.

Sprawozdanie z badań bez pisemnej zgody laboratorium nie może być powielane inaczej niż w całości.
Wynik przedstawione w niniejszym sprawozdaniu odnoszą się wyłącznie do badanego obiektu i do warunków i konfiguracji urządzeń w dniu wykonywania pomiarów.

8.3. Warunki pracy urządzeń nadawczych

Podczas pomiarów w przypadku uzyskania wyniku pomiaru szerokopasmowego wykonanego zastosowaną metodą, dla zakresów częstotliwości od 10 MHz do 300 GHz, powiększonego o rozszerzoną niepewność pomiaru U dla współczynnika rozszerzenia $k = 2$ przekraczającego 70% najniższej dopuszczalnej wartości składowej elektrycznej lub magnetycznej pola dla objętych pomiarami zakresów częstotliwości, uwzględnia się poprawki pomiarowe przekazane przez zleceniodawcę, umożliwiające uwzględnienie maksymalnych parametrów pracy instalacji zgodnie z pkt 7 załącznika do Rozporządzeniem Ministra Klimatu z dnia 17 lutego 2020 r. w sprawie sposobów sprawdzania dotrzymania dopuszczalnych poziomów pól elektromagnetycznych w środowisku (Dz. U. 2022, poz. 2630) zaznaczając, że wymagane jest wykonanie pomiaru z wykorzystaniem miernika selektywnego. W przypadku uzyskania wyniku pomiaru szerokopasmowego wykonanego zastosowaną metodą, dla zakresów częstotliwości od 10 MHz do 300 GHz, powiększonego o rozszerzoną niepewność pomiaru U dla współczynnika rozszerzenia $k = 2$ nieprzekraczającego 70% najniższej dopuszczalnej wartości składowej elektrycznej lub magnetycznej pola dla objętych pomiarami zakresów częstotliwości, nie uwzględnia się poprawek pomiarowych.

8.4. Wyposażenie pomiarowe

Zestaw pomiarowy służący do pomiaru natężenia składowej elektrycznej pola elektromagnetycznego złożony z szerokopasmowego miernika i sondy pomiarowej:

Oznaczenie miernika	Producent	Model	Numer fabryczny	Oznaczenie sondy	Producent	Model	Numer fabryczny
MW-04	Wavecontrol	Miernik pól elektromagnetycznych SMP2	22SN1953	SW-07	Wavecontrol	Sonda WPF60	22WP230193

Mierniki natężenia pola elektromagnetycznego podlegają okresowemu sprawdzeniu zgodnie z procedurą wewnętrzną P-03 i PB-01. Świadectwo wzorcowania zestawu pomiarowego z dnia 10 czerwca 2022 o numerze LWIMP/W/155/22 wydane przez Politechnika Wrocławską.

Data ważności świadectwa wzorcowania: 10 czerwca 2024 (zgodnie z procedurą wewnętrzną P-03).

Oznaczenie miernika	Producent	Model	Numer fabryczny	Oznaczenie sondy	Producent	Model	Numer fabryczny
MW-04	Wavecontrol	Miernik pól elektromagnetycznych SMP2	22SN1953	SW-08	Wavecontrol	Sonda WPF3-HP	22WP030430

Mierniki natężenia pola elektromagnetycznego podlegają okresowemu sprawdzeniu zgodnie z procedurą wewnętrzną P-03 i PB-01. Świadectwo wzorcowania zestawu pomiarowego z dnia 10 czerwca 2022 o numerze LWIMP/W/155/22 wydane przez Politechnika Wrocławską.

Data ważności świadectwa wzorcowania: 10 czerwca 2024 (zgodnie z procedurą wewnętrzną P-03).

Termohigrometr:

Oznaczenie:	TH-13	Producent:	AZ INSTRUMENT CORP	Model:	Termohigrometr AZ8706
-------------	-------	------------	--------------------	--------	-----------------------

Data ważności świadectwa wzorcowania: 3 stycznia 2025 (zgodnie z procedurą wewnętrzną P-03).

Dalmierz:

Oznaczenie	Producent	Typ	Numer seryjny	Nr świadectwa wzorcowania	Data świadectwa wzorcowania
D-10	Leica	Dalmierz Leica Disto D510	1042956690	4609.13-M11-4180-1748/14	9 stycznia 2015

Data ważności świadectwa wzorcowania: 9 stycznia 2025 (zgodnie z procedurą wewnętrzną P-03).

Sprawozdanie z badań bez pisemnej zgody laboratorium nie może być powielane inaczej niż w całości. Wynik przedstawione w niniejszym sprawozdaniu odnoszą się wyłącznie do badanego obiektu i do warunków i konfiguracji urządzeń w dniu wykonywania pomiarów.

9. Wyniki pomiarów

Pole elektryczne

Nr pionu	Opis umiejscowienia pionu (punktu) pomiarowego	Wysokość pomiaru [m]	Zmierzona wartość natężenia pola elektrycznego E [V/m] ^{1,5}			Wartość natężenia pola elektrycznego powiększona o niepewność pomiaru ⁴ E [V/m]	Wskaźnikowa wartość poziomu emisji pól elektromagnetycznych WME ³	Współrzędne geograficzne pionu (punktu) pomiarowego ²
			Sonda SW-07	Sonda SW-08	SUMA			
1	GKP w odległości 16m od anteny sektorowej az. 20°	0.3-2.0	<1.0*	<1.0*	<1.0*	1.3	0.05	50°53'30.5" 15°42'47.5"
2	GKP w odległości 37m od anteny sektorowej az. 20°	0.3-2.0	<1.0*	<1.0*	<1.0*	1.3	0.05	50°53'31.2" 15°42'47.9"
3	GKP w odległości 94m od anteny sektorowej az. 20°	0.3-2.0	<1.0*	<1.0*	<1.0*	1.3	0.05	50°53'33.0" 15°42'48.6"
4	GKP w odległości 16m od anteny sektorowej az. 275°	0.3-2.0	<1.0*	<1.0*	<1.0*	1.3	0.05	50°53'30.1" 15°42'46.1"
5	GKP w odległości 64m od anteny sektorowej az. 275°	0.3-2.0	<1.0*	<1.0*	<1.0*	1.3	0.05	50°53'30.1" 15°42'43.6"
6	GKP w odległości 119m od anteny sektorowej az. 275°	0.3-2.0	<1.0*	<1.0*	<1.0*	1.3	0.05	50°53'30.1" 15°42'41.0"
7	GKP w odległości 6m od anteny radioliniowej az. 132°	0.3-2.0	<1.0*	<1.0*	<1.0*	1.3	0.05	50°53'29.8" 15°42'47.5"
8	GKP w odległości 92m od anteny radioliniowej az. 132°	0.3-2.0	<1.0*	<1.0*	<1.0*	1.3	0.05	50°53'28.0" 15°42'50.8"
9	GKP w odległości 8m od anteny radioliniowej az. 102°	0.3-2.0	<1.0*	<1.0*	<1.0*	1.3	0.05	50°53'29.8" 15°42'47.5"
10	GKP w odległości 55m od anteny radioliniowej az. 102°	0.3-2.0	<1.0*	<1.0*	<1.0*	1.3	0.05	50°53'29.4" 15°42'50.0"
11	GKP w odległości 5m od anteny sektorowej az. 100°	0.3-2.0	<1.0*	<1.0*	<1.0*	1.3	0.05	50°53'29.8" 15°42'47.5"
12	GKP w odległości 51m od anteny sektorowej az. 100°	0.3-2.0	<1.0*	<1.0*	<1.0*	1.3	0.05	50°53'29.8" 15°42'49.7"
13	GKP w odległości 148m od anteny sektorowej az. 100°	0.3-2.0	<1.0*	<1.0*	<1.0*	1.3	0.05	50°53'29.0" 15°42'54.7"
-	GKP w odległości 239m od anteny sektorowej az. 100°	0.3-2.0	<1.0*	<1.0*	<1.0*	1.3	0.05	50°53'28.7" 15°42'59.4"
15	GKP w odległości 8m od anteny radioliniowej az. 238°	0.3-2.0	<1.0*	<1.0*	<1.0*	1.3	0.05	50°53'29.8" 15°42'46.8"
16	GKP w odległości 37m od anteny radioliniowej az. 230°	0.3-2.0	<1.0*	<1.0*	<1.0*	1.3	0.05	50°53'29.0" 15°42'45.7"
17	GKP w odległości 40m od anteny radioliniowej az. 233°	0.3-2.0	<1.0*	<1.0*	<1.0*	1.3	0.05	50°53'29.0" 15°42'45.4"
18	GKP w odległości 80m od anteny radioliniowej az. 230°	0.3-2.0	<1.0*	<1.0*	<1.0*	1.3	0.05	50°53'28.3" 15°42'43.9"
19	GKP w odległości 76m od anteny radioliniowej az. 233°	0.3-2.0	<1.0*	<1.0*	<1.0*	1.3	0.05	50°53'28.3" 15°42'43.9"
20	GKP w odległości 77m od anteny radioliniowej az. 238°	0.3-2.0	<1.0*	<1.0*	<1.0*	1.3	0.05	50°53'28.7" 15°42'43.6"
21	GKP w odległości 35m od anteny radioliniowej az. 242°	0.3-2.0	<1.0*	<1.0*	<1.0*	1.3	0.05	50°53'29.4" 15°42'45.4"
22	GKP w odległości 41m od anteny radioliniowej az. 243°	0.3-2.0	<1.0*	<1.0*	<1.0*	1.3	0.05	50°53'29.4" 15°42'45.0"
23	GKP w odległości 85m od anteny radioliniowej az. 242°	0.3-2.0	<1.0*	<1.0*	<1.0*	1.3	0.05	50°53'28.7" 15°42'43.2"
24	GKP w odległości 89m od anteny radioliniowej az. 243°	0.3-2.0	<1.0*	<1.0*	<1.0*	1.3	0.05	50°53'28.7" 15°42'42.8"
25	GKP w odległości 39m od anteny radioliniowej az. 248°	0.3-2.0	<1.0*	<1.0*	<1.0*	1.3	0.05	50°53'29.4" 15°42'45.0"
26	GKP w odległości 43m od anteny radioliniowej az. 246°	0.3-2.0	<1.0*	<1.0*	<1.0*	1.3	0.05	50°53'29.4" 15°42'45.0"
27	GKP w odległości 89m od anteny radioliniowej az. 246°	0.3-2.0	<1.0*	<1.0*	<1.0*	1.3	0.05	50°53'28.7" 15°42'42.8"
28	GKP w odległości 91m od anteny radioliniowej az. 248°	0.3-2.0	<1.0*	<1.0*	<1.0*	1.3	0.05	50°53'28.7" 15°42'42.8"
-	GKP w odległości 267m od anteny sektorowej az. 275°	0.3-2.0	<1.0*	<1.0*	<1.0*	1.3	0.05	50°53'30.8" 15°42'33.5"
-	GKP w odległości 261m od anteny sektorowej az. 20°	0.3-2.0	<1.0*	<1.0*	<1.0*	1.3	0.05	50°53'38.0" 15°42'51.8"
31	PPP w odległości 30m od anteny sektorowej az. 20°	0.3-2.0	<1.0*	<1.0*	<1.0*	1.3	0.05	50°53'30.5" 15°42'45.7"

Sprawozdanie z badań bez pisemnej zgody laboratorium nie może być powielane inaczej niż w całości.
Wynik przedstawione w niniejszym sprawozdaniu odnoszą się wyłącznie do badanego obiektu i do warunków i konfiguracji urządzeń w dniu wykonywania pomiarów.

32	DPP w witrynie okna budynku magazynowego w odległości 39m od anteny sektorowej az. 275°	0.3-2.0	<1.0*	<1.0*	<1.0*	1.3	0.05	50°53'30.5" 15°42'45.0"
33	PPP w odległości 56m od anteny sektorowej az. 275°	0.3-2.0	<1.0*	<1.0*	<1.0*	1.3	0.05	50°53'31.2" 15°42'45.0"
34	GKP w odległości 11m od anteny radioliniowej az. 68°	0.3-2.0	<1.0*	<1.0*	<1.0*	1.3	0.05	50°53'30.1" 15°42'47.5"
35	GKP w odległości 6m od anteny radioliniowej az. 66°	0.3-2.0	<1.0*	<1.0*	<1.0*	1.3	0.05	50°53'30.1" 15°42'47.5"
36	GKP w odległości 25m od anteny radioliniowej az. 68°	0.3-2.0	<1.0*	<1.0*	<1.0*	1.3	0.05	50°53'30.5" 15°42'48.6"
37	GKP w odległości 20m od anteny radioliniowej az. 66°	0.3-2.0	<1.0*	<1.0*	<1.0*	1.3	0.05	50°53'30.1" 15°42'48.2"
38	GKP w odległości 45m od anteny radioliniowej az. 68°	0.3-2.0	<1.0*	<1.0*	<1.0*	1.3	0.05	50°53'30.5" 15°42'49.7"
39	GKP w odległości 35m od anteny radioliniowej az. 66°	0.3-2.0	<1.0*	<1.0*	<1.0*	1.3	0.05	50°53'30.5" 15°42'49.3"

Pole magnetyczne (wyznaczone na podstawie pomiaru wartości natężenia pola elektrycznego)

Nr pionu	Opis umiejscowienia pionu (punktu) pomiarowego	Wysokość pomiaru [m]	Wartość natężenia pola magnetycznego H [A/m] ¹			Wartość natężenia pola magnetycznego powiększona o niepewność pomiaru ⁴ H [A/m]	Wskaźnikowa wartość poziomu emisji pól elektromagnetycznych WM _H ³	Współrzędne geograficzne pionu (punktu) pomiarowego ²
			Sonda SW-07	Sonda SW-08	SUMA			
1	GKP w odległości 16m od anteny sektorowej az. 20°	0.3-2.0	<0.003*	<0.003*	<0.003*	0.003	0.05	50°53'30.5" 15°42'47.5"
2	GKP w odległości 37m od anteny sektorowej az. 20°	0.3-2.0	<0.003*	<0.003*	<0.003*	0.003	0.05	50°53'31.2" 15°42'47.9"
3	GKP w odległości 94m od anteny sektorowej az. 20°	0.3-2.0	<0.003*	<0.003*	<0.003*	0.003	0.05	50°53'33.0" 15°42'48.6"
4	GKP w odległości 16m od anteny sektorowej az. 275°	0.3-2.0	<0.003*	<0.003*	<0.003*	0.003	0.05	50°53'30.1" 15°42'46.1"
5	GKP w odległości 64m od anteny sektorowej az. 275°	0.3-2.0	<0.003*	<0.003*	<0.003*	0.003	0.05	50°53'30.1" 15°42'43.6"
6	GKP w odległości 119m od anteny sektorowej az. 275°	0.3-2.0	<0.003*	<0.003*	<0.003*	0.003	0.05	50°53'30.1" 15°42'41.0"
7	GKP w odległości 6m od anteny radioliniowej az. 132°	0.3-2.0	<0.003*	<0.003*	<0.003*	0.003	0.05	50°53'29.8" 15°42'47.5"
8	GKP w odległości 92m od anteny radioliniowej az. 132°	0.3-2.0	<0.003*	<0.003*	<0.003*	0.003	0.05	50°53'28.0" 15°42'50.8"
9	GKP w odległości 8m od anteny radioliniowej az. 102°	0.3-2.0	<0.003*	<0.003*	<0.003*	0.003	0.05	50°53'29.8" 15°42'47.5"
10	GKP w odległości 55m od anteny radioliniowej az. 102°	0.3-2.0	<0.003*	<0.003*	<0.003*	0.003	0.05	50°53'29.4" 15°42'50.0"
11	GKP w odległości 5m od anteny sektorowej az. 100°	0.3-2.0	<0.003*	<0.003*	<0.003*	0.003	0.05	50°53'29.8" 15°42'47.5"
12	GKP w odległości 51m od anteny sektorowej az. 100°	0.3-2.0	<0.003*	<0.003*	<0.003*	0.003	0.05	50°53'29.8" 15°42'49.7"
13	GKP w odległości 148m od anteny sektorowej az. 100°	0.3-2.0	<0.003*	<0.003*	<0.003*	0.003	0.05	50°53'29.0" 15°42'54.7"
-	GKP w odległości 239m od anteny sektorowej az. 100°	0.3-2.0	<0.003*	<0.003*	<0.003*	0.003	0.05	50°53'28.7" 15°42'59.4"
15	GKP w odległości 8m od anteny radioliniowej az. 238°	0.3-2.0	<0.003*	<0.003*	<0.003*	0.003	0.05	50°53'29.8" 15°42'46.8"
16	GKP w odległości 37m od anteny radioliniowej az. 230°	0.3-2.0	<0.003*	<0.003*	<0.003*	0.003	0.05	50°53'29.0" 15°42'45.7"
17	GKP w odległości 40m od anteny radioliniowej az. 233°	0.3-2.0	<0.003*	<0.003*	<0.003*	0.003	0.05	50°53'29.0" 15°42'45.4"
18	GKP w odległości 80m od anteny radioliniowej az. 230°	0.3-2.0	<0.003*	<0.003*	<0.003*	0.003	0.05	50°53'28.3" 15°42'43.9"
19	GKP w odległości 76m od anteny radioliniowej az. 233°	0.3-2.0	<0.003*	<0.003*	<0.003*	0.003	0.05	50°53'28.3" 15°42'43.9"
20	GKP w odległości 77m od anteny radioliniowej az. 238°	0.3-2.0	<0.003*	<0.003*	<0.003*	0.003	0.05	50°53'28.7" 15°42'43.6"
21	GKP w odległości 35m od anteny radioliniowej az. 242°	0.3-2.0	<0.003*	<0.003*	<0.003*	0.003	0.05	50°53'29.4" 15°42'45.4"
22	GKP w odległości 41m od anteny radioliniowej az. 243°	0.3-2.0	<0.003*	<0.003*	<0.003*	0.003	0.05	50°53'29.4" 15°42'45.0"
23	GKP w odległości 85m od anteny radioliniowej az. 242°	0.3-2.0	<0.003*	<0.003*	<0.003*	0.003	0.05	50°53'28.7" 15°42'43.2"
24	GKP w odległości 89m od anteny radioliniowej az. 243°	0.3-2.0	<0.003*	<0.003*	<0.003*	0.003	0.05	50°53'28.7" 15°42'42.8"

Sprawozdanie z badań bez pisemnej zgody laboratorium nie może być powielane inaczej niż w całości.
Wynik przedstawione w niniejszym sprawozdaniu odnoszą się wyłącznie do badanego obiektu i do warunków i konfiguracji urządzeń w dniu wykonywania pomiarów.

25	GKP w odległości 39m od anteny radioliniowej az. 248°	0.3-2.0	<0.003*	<0.003*	<0.003*	0.003	0.05	50°53'29.4" 15°42'45.0"
26	GKP w odległości 43m od anteny radioliniowej az. 246°	0.3-2.0	<0.003*	<0.003*	<0.003*	0.003	0.05	50°53'29.4" 15°42'45.0"
27	GKP w odległości 89m od anteny radioliniowej az. 246°	0.3-2.0	<0.003*	<0.003*	<0.003*	0.003	0.05	50°53'28.7" 15°42'42.8"
28	GKP w odległości 91m od anteny radioliniowej az. 248°	0.3-2.0	<0.003*	<0.003*	<0.003*	0.003	0.05	50°53'28.7" 15°42'42.8"
-	GKP w odległości 267m od anteny sektorowej az. 275°	0.3-2.0	<0.003*	<0.003*	<0.003*	0.003	0.05	50°53'30.8" 15°42'33.5"
-	GKP w odległości 261m od anteny sektorowej az. 20°	0.3-2.0	<0.003*	<0.003*	<0.003*	0.003	0.05	50°53'38.0" 15°42'51.8"
31	PPP w odległości 30m od anteny sektorowej az. 20°	0.3-2.0	<0.003*	<0.003*	<0.003*	0.003	0.05	50°53'30.5" 15°42'45.7"
32	DPP w witrynie okna budynku magazynowego w odległości 39m od anteny sektorowej az. 275°	0.3-2.0	<0.003*	<0.003*	<0.003*	0.003	0.05	50°53'30.5" 15°42'45.0"
33	PPP w odległości 56m od anteny sektorowej az. 275°	0.3-2.0	<0.003*	<0.003*	<0.003*	0.003	0.05	50°53'31.2" 15°42'45.0"
34	GKP w odległości 11m od anteny radioliniowej az. 68°	0.3-2.0	<0.003*	<0.003*	<0.003*	0.003	0.05	50°53'30.1" 15°42'47.5"
35	GKP w odległości 6m od anteny radioliniowej az. 66°	0.3-2.0	<0.003*	<0.003*	<0.003*	0.003	0.05	50°53'30.1" 15°42'47.5"
36	GKP w odległości 25m od anteny radioliniowej az. 68°	0.3-2.0	<0.003*	<0.003*	<0.003*	0.003	0.05	50°53'30.5" 15°42'48.6"
37	GKP w odległości 20m od anteny radioliniowej az. 66°	0.3-2.0	<0.003*	<0.003*	<0.003*	0.003	0.05	50°53'30.1" 15°42'48.2"
38	GKP w odległości 45m od anteny radioliniowej az. 68°	0.3-2.0	<0.003*	<0.003*	<0.003*	0.003	0.05	50°53'30.5" 15°42'49.7"
39	GKP w odległości 35m od anteny radioliniowej az. 66°	0.3-2.0	<0.003*	<0.003*	<0.003*	0.003	0.05	50°53'30.5" 15°42'49.3"

GKP – Główny Kierunek Pomiarowy

DPP – Dodatkowy Pion Pomiarowy

PPP – Pomocniczy Pion Pomiarowy

¹ wyniki oznaczone * są wynikami poniżej czułości zestawu pomiarowego

² współrzędne geograficzne pozyskane metodą pomiaru bezpośredniego

³ do wyznaczenia wartości wskaźnikowej W_{ME} i W_{MH} przyjęto na podstawie uzgodnień z klientem oraz rozpoznania źródeł, jako wartości dopuszczalne pola elektrycznego i magnetycznego odpowiednio 28 V/m i 0,073 A/m.

⁴ do wyznaczenia niepewności dla wyników poniżej czułości zestawu pomiarowego, przyjęto niepewność dla minimalnej wartości z zakresu pomiarowego.

⁵ maksymalna wartość chwilowa

Niepewność oszacowano zgodnie z dokumentem P-03 „Procedura nadzoru nad wyposażeniem” w postaci niepewności rozszerzonej wynikającej z niepewności standardowej pomnożonej przez współczynnik rozszerzenia $k=2$.

Całkowita szacowana niepewność rozszerzona składowej E wynosi odpowiednio:

sonda SW-07: 29.6% dla częstotliwości do 3 GHz, sonda SW-08: 28.5% dla częstotliwości do 3 GHz

Umiejscowienie pionów (punktów) pomiarowych przedstawiono w załączniku nr 2 do niniejszego sprawozdania.

10. Omówienie wyników pomiarów

W związku z tym, że żadna z wartości zmierzonych, udokumentowanych w tabelach w pkt. 9, uzyskanych w skutek zastosowania pomiaru szerokopasmowego, powiększonego o rozszerzoną niepewność pomiaru U dla współczynnika rozszerzenia $k = 2$ nie przekroczyła 70% najniższej dopuszczalnej wartości składowej elektrycznej lub magnetycznej pola dla objętych pomiarami zakresów częstotliwości, nie uwzględnia się poprawek pomiarowych.

W wyniku zastosowania sposobu sprawdzenia dotrzymania dopuszczalnych poziomów pól elektromagnetycznych w środowisku, zgodnie pkt 25 ppkt 1 Rozporządzenia Ministra Klimatu z dnia 17 lutego 2020 r. (Dz. U. 2022, poz. 2630), w związku z tym, że żadna z wartości wskaźnikowych, udokumentowanych w tabelach w pkt. 9 nie przekracza wartości 1, stwierdza się, że w miejscach, w których wykonano pomiary w otoczeniu instalacji radiokomunikacyjnej 49192 (69192N!) PJE_JELENIAGO_MIARKI, dopuszczalne poziomy pól elektromagnetycznych w środowisku należy uznać za dotrzymane.

Sprawozdanie z badań bez pisemnej zgody laboratorium nie może być powielane inaczej niż w całości.

Wynik przedstawione w niniejszym sprawozdaniu odnoszą się wyłącznie do badanego obiektu i do warunków i konfiguracji urządzeń w dniu wykonywania pomiarów.

11. Podstawa prawna

- 1) Ustawa z dnia 27 kwietnia 2001 r. Prawo ochrony środowiska (Dz.U. 2022 poz. 2556)
- 2) Rozporządzenie Ministra Zdrowia z dnia 17 grudnia 2019 r. w sprawie dopuszczalnych poziomów pól elektromagnetycznych w środowisku (Dz. U. 2019, poz. 2448)
- 3) Rozporządzenie Ministra Klimatu z dnia 17 lutego 2020 r. w sprawie sposobów sprawdzania dotrzymania dopuszczalnych poziomów pól elektromagnetycznych w środowisku (Dz. U. 2022, poz. 2630),
- 4) Akredytacja nr AB 419 wydana przez Polskie Centrum Akredytacji (wydanie 20, z dnia 10 czerwca 2022r.).

12. Spis załączników

- Załącznik 1. Lokalizacja obiektu badań
- Załącznik 2. Usytuowanie pionów (punktów) pomiarowych
- Załącznik 3. Dokumentacja fotograficzna obiektu badań

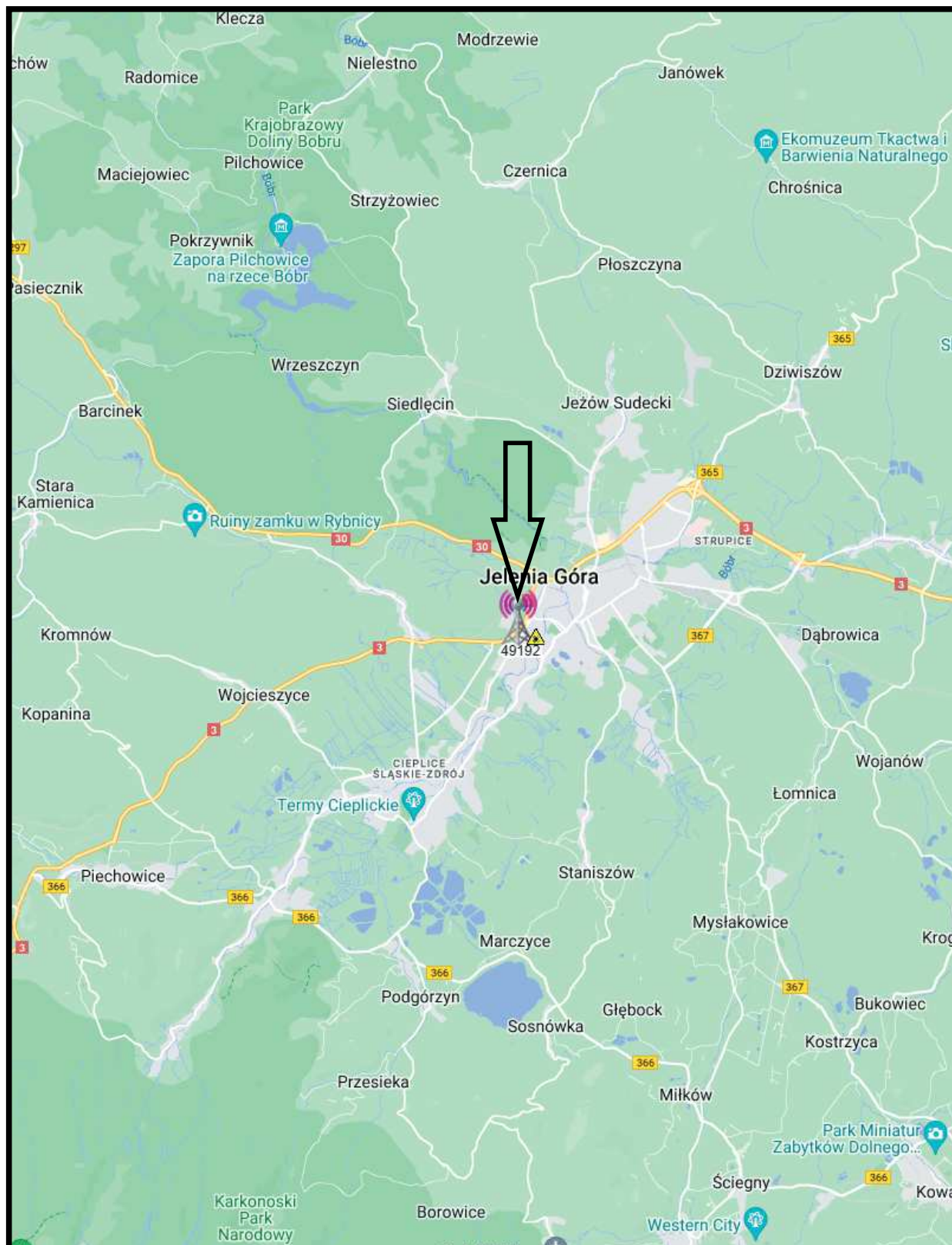
13. Data wydania i autoryzowania sprawozdania

Obliczenia i sprawozdanie wykonał :

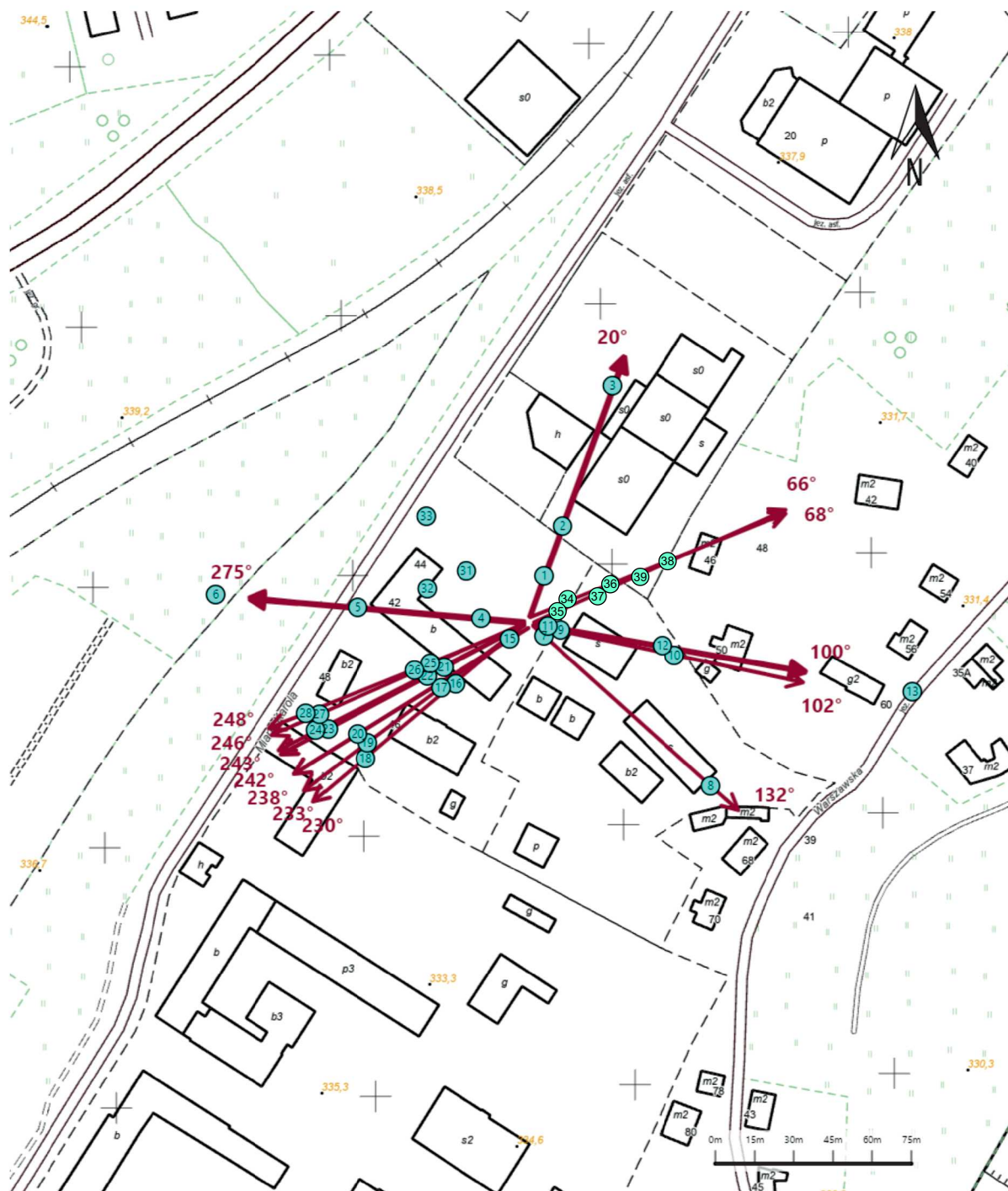
Sprawozdanie autoryzował:




Koniec sprawozdania

Sprawozdanie z badań bez pisemnej zgody laboratorium nie może być powielane inaczej niż w całości.
Wynik przedstawione w niniejszym sprawozdaniu odnoszą się wyłącznie do badanego obiektu i do warunków i konfiguracji urządzeń w dniu wykonywania pomiarów.



Załącznik nr 1	INSTALACJA RADIOKOMUNIKACYJNA T-Mobile Polska S.A. 49192 (69192N!) PJE_JELENIAGO_MIARKI Lokalizacja instalacji radiokomunikacyjnej
----------------	--



Załącznik nr 2	<p style="text-align: center;">Instalacja radiokomunikacyjna T-Mobile Polska S.A. PJE_JELENIAGO_MIARKI (69192N!) Usytuowanie pionów pomiarowych w otoczeniu instalacji radiokomunikacyjnej</p>
	<p>Legenda:</p> <div style="display: flex; justify-content: space-around; align-items: center;"> <div style="text-align: center;">  Pion pomiarowy </div> <div style="text-align: center;">  Kierunek oddziaływania anten sektorowych </div> <div style="text-align: center;">  Kierunek oddziaływania anten radioliniowych </div> </div>



Załącznik nr 3

INSTALACJA RADIOKOMUNIKACYJNA T-Mobile Polska S.A. 49192 (69192N!) PJE_JELENIAGO_MIARKI
Zdjęcia instalacji radiokomunikacyjnej